

WO 01/12359

PCT/US00/22742

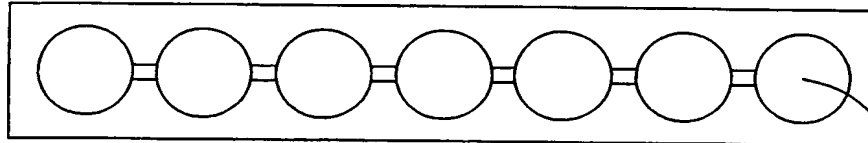
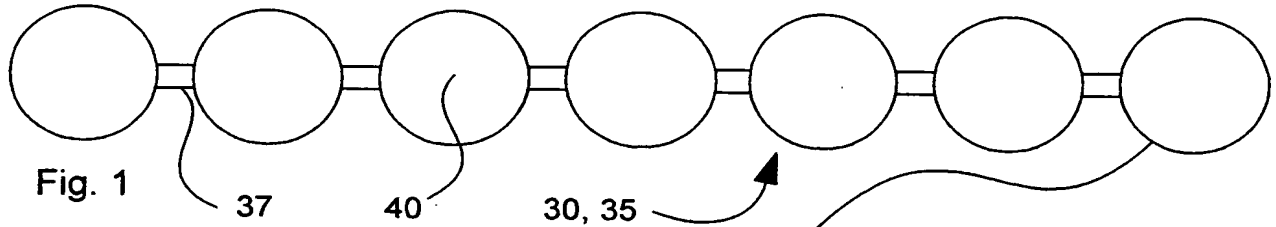
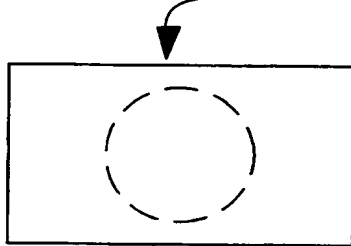
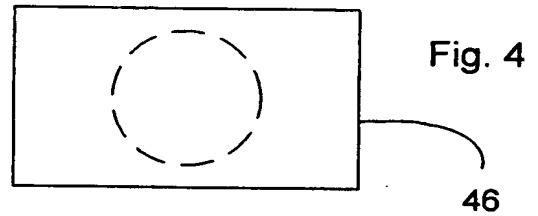
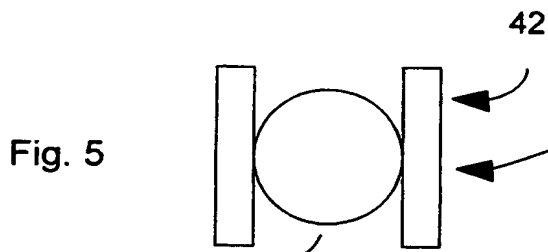
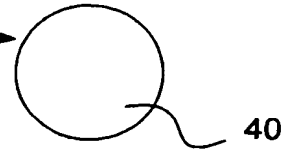


Fig. 2

43

Fig. 3



48

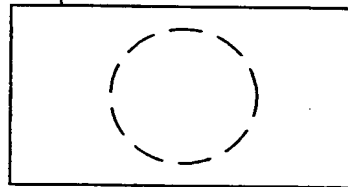


Fig. 8

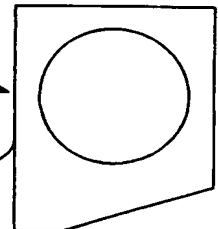


Fig. 6

Fig. 7

Fig. 9

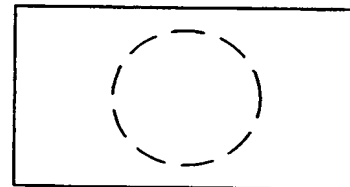
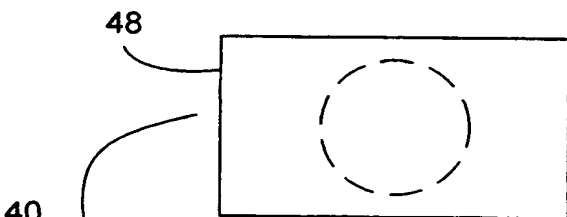
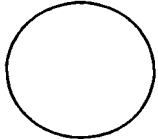


Fig. 10

Fig. 11



40



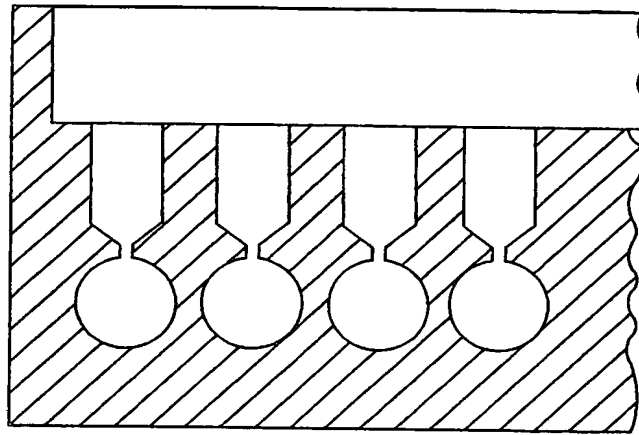


Fig. 1A

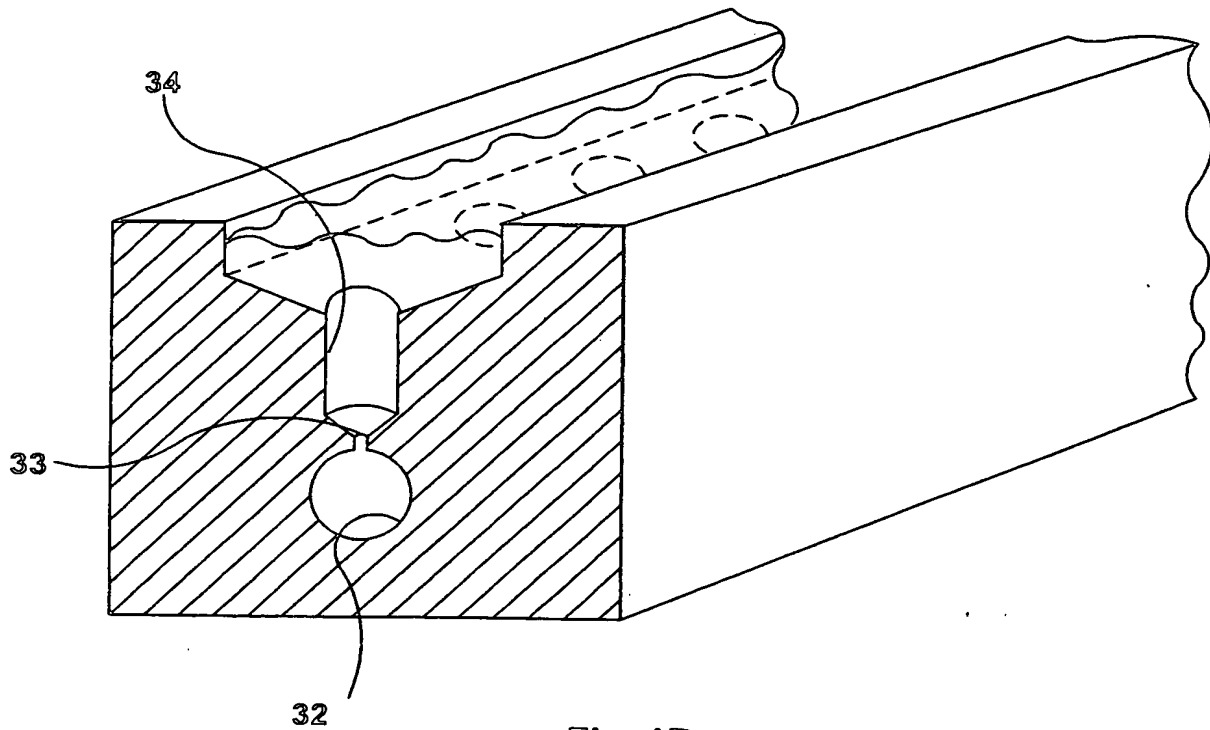


Fig. 1B

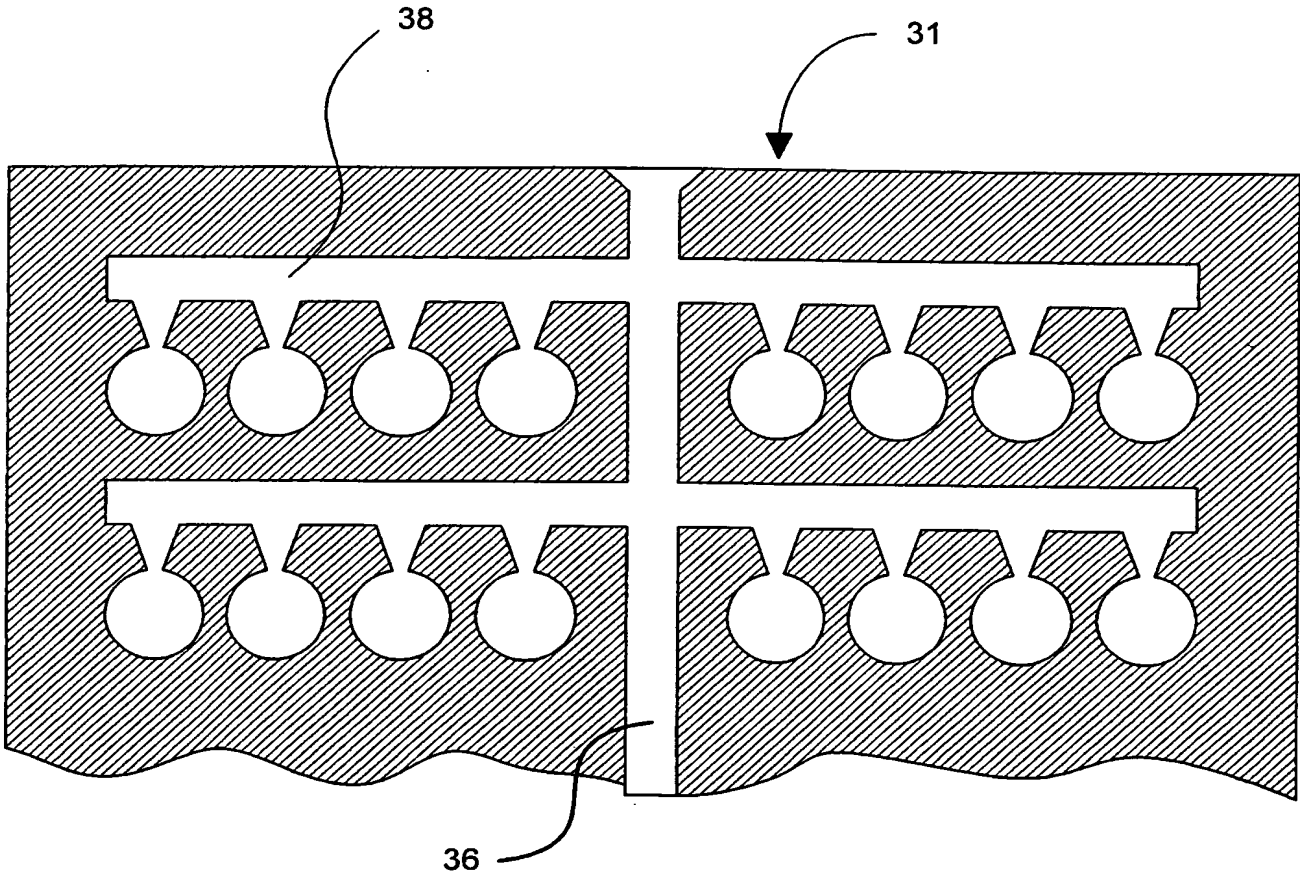


Fig. 1C

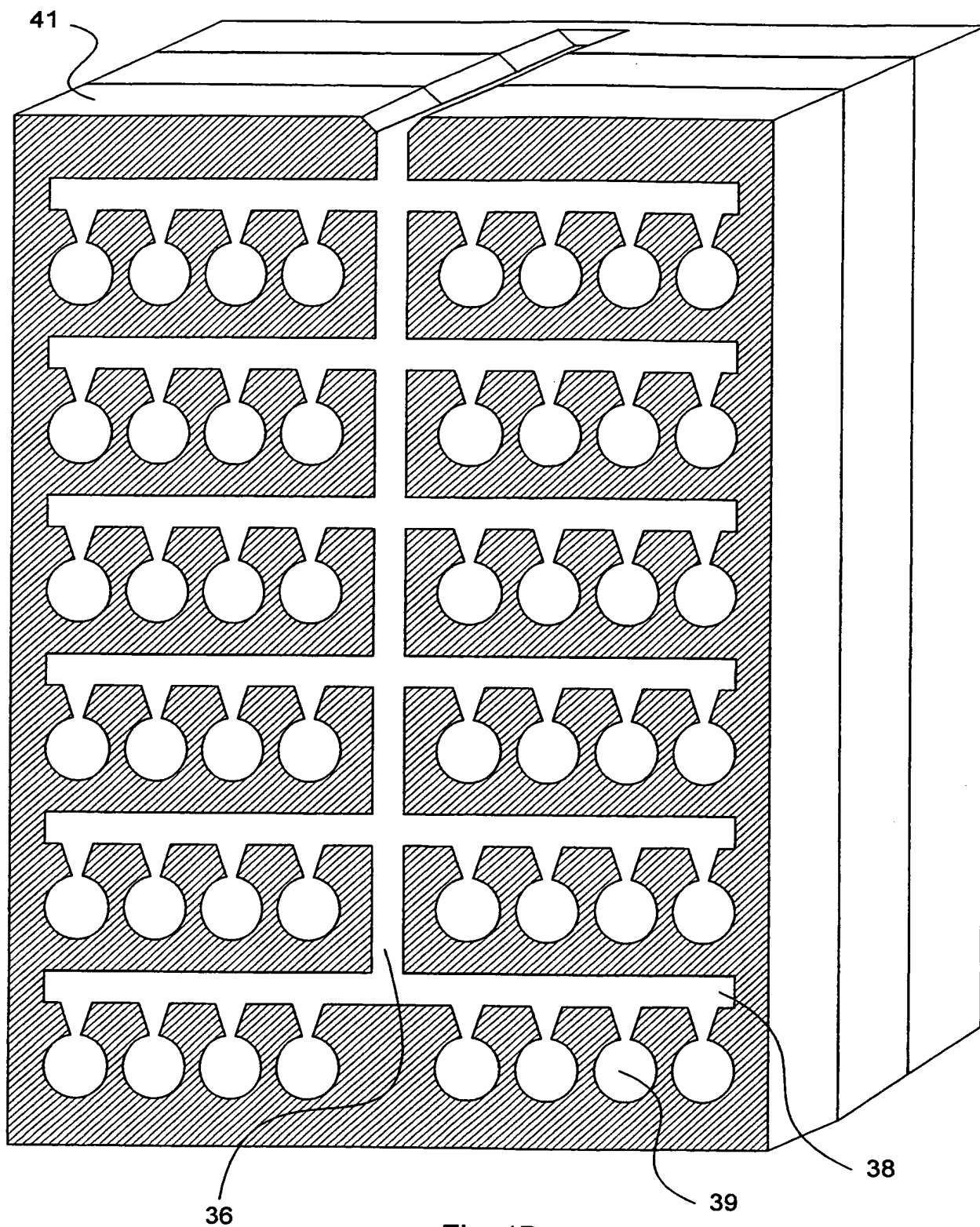


Fig. 1D

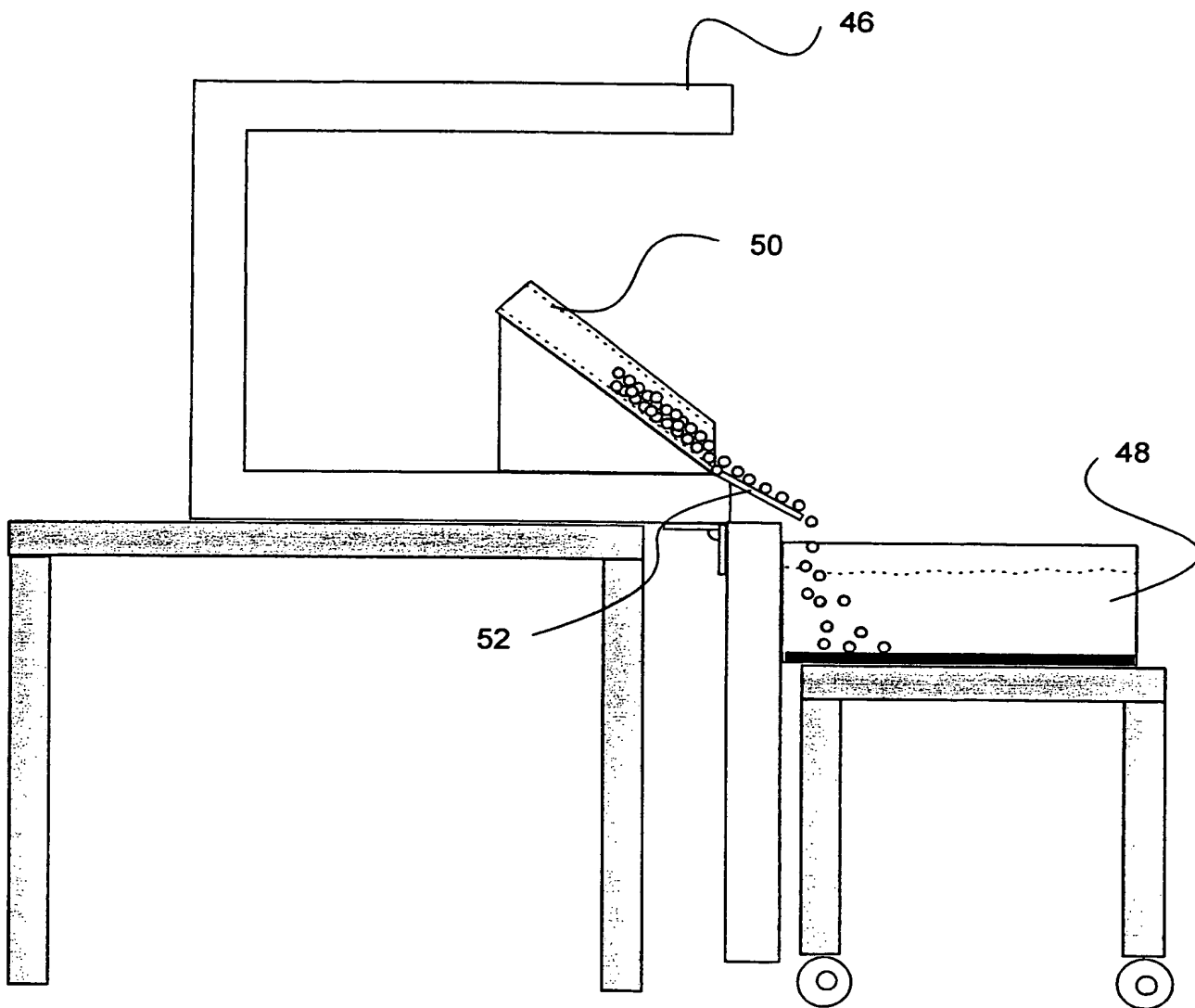


Fig. 7A

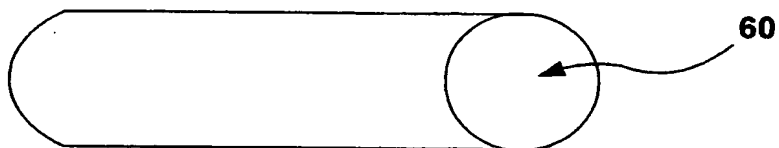


Fig. 12

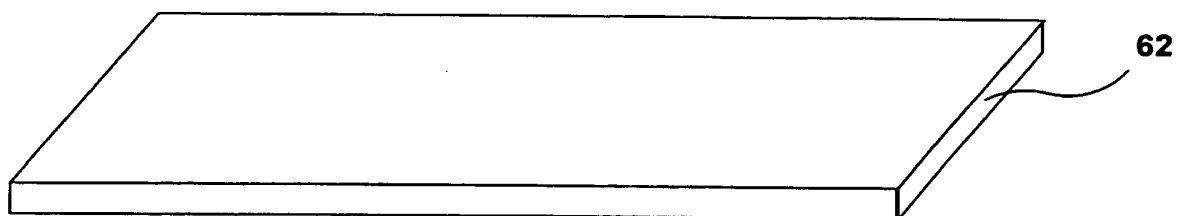


Fig. 13

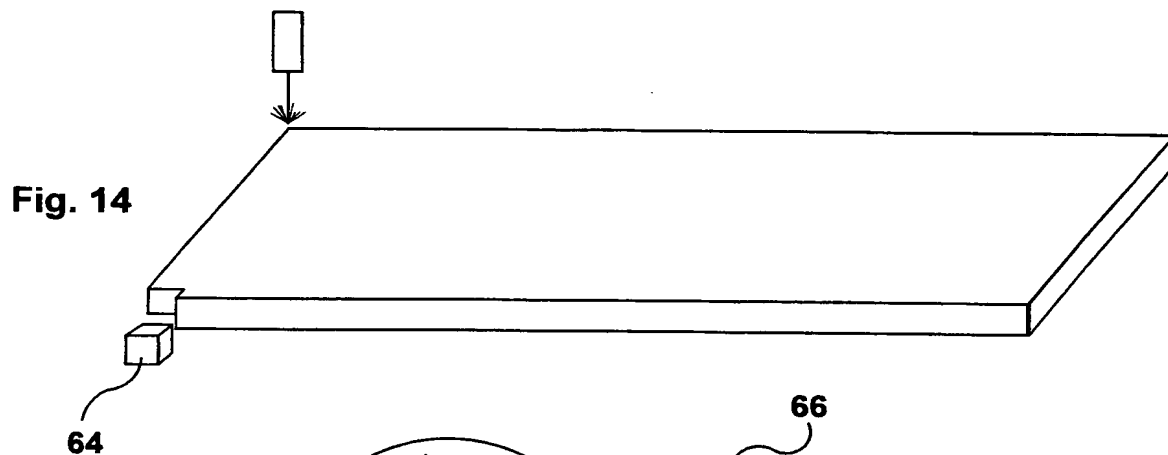


Fig. 14

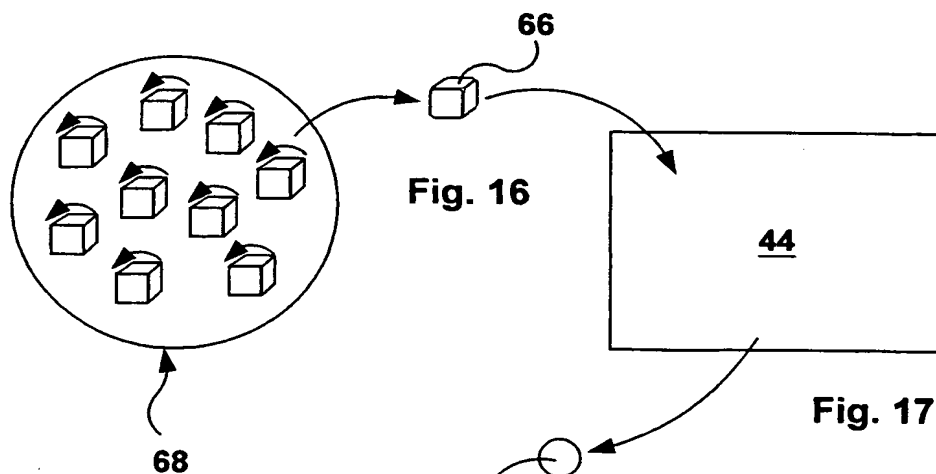


Fig. 15

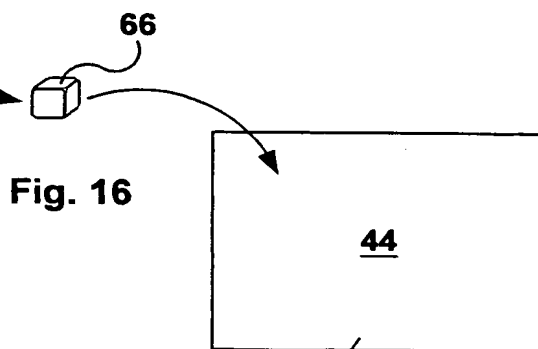


Fig. 16

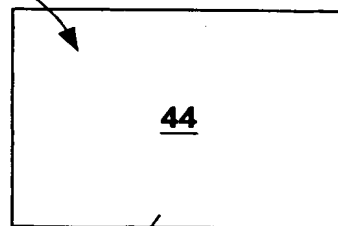


Fig. 17



Fig. 18

#1

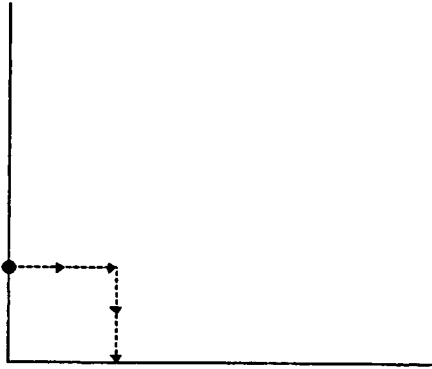


Fig. 19

#2

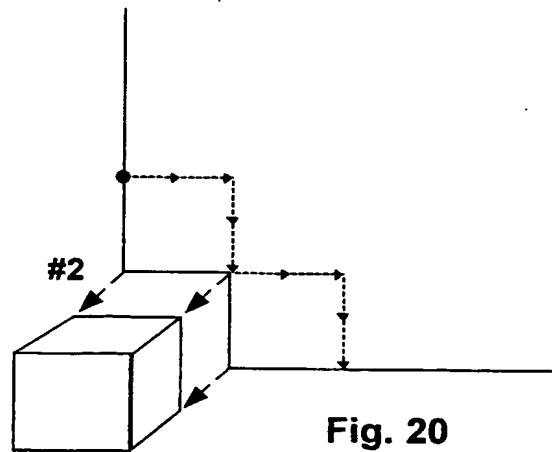


Fig. 20

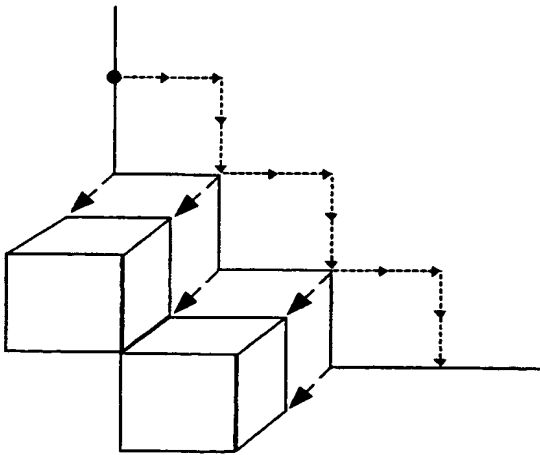


Fig. 21

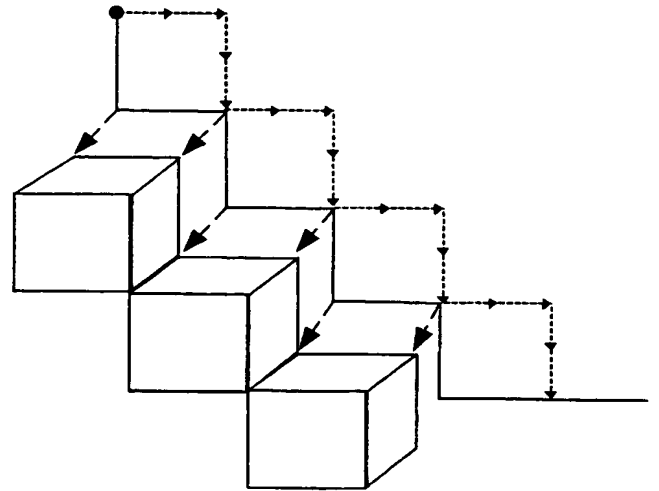
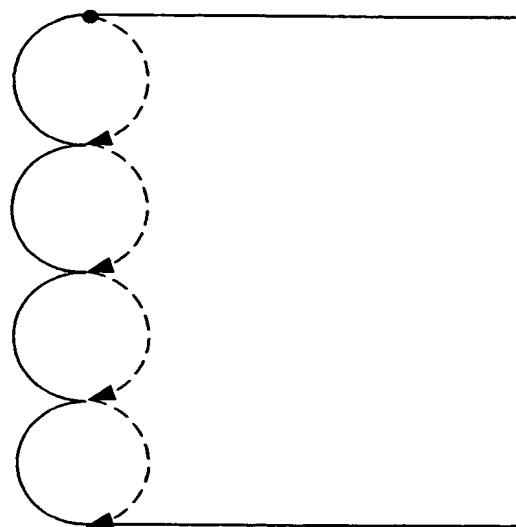


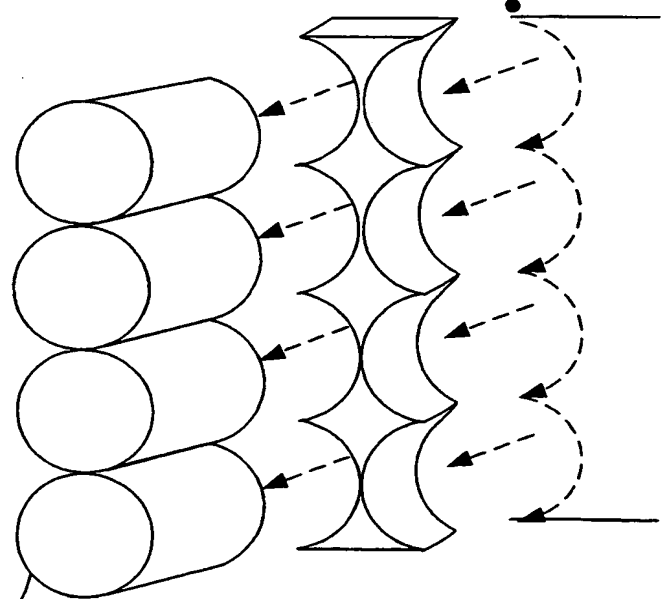
Fig. 22

## #2



**Fig. 24**

#### #4



**Fig. 26**



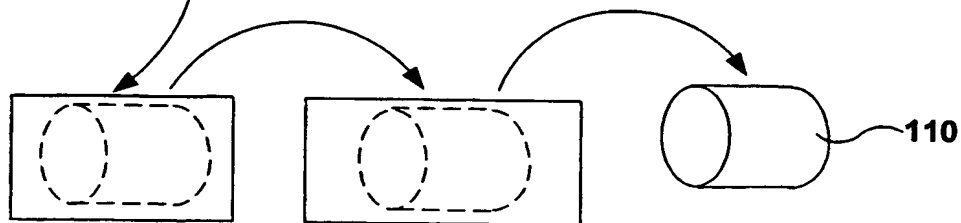
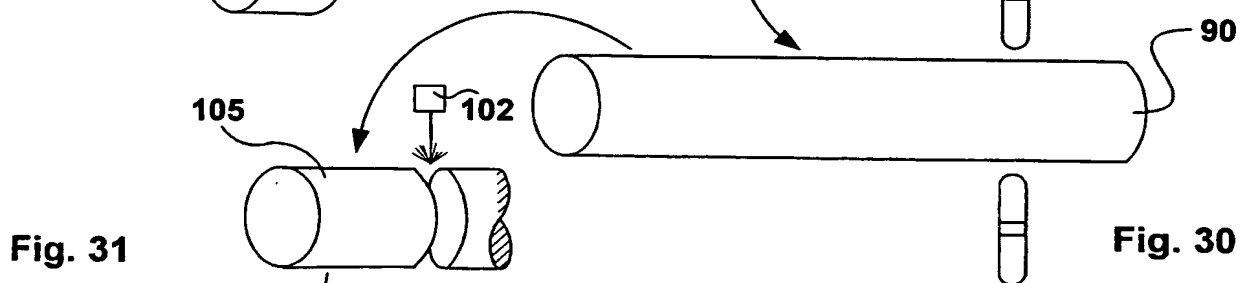
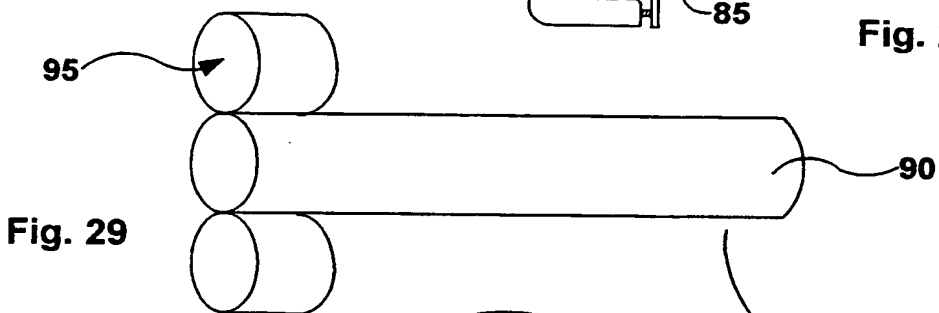
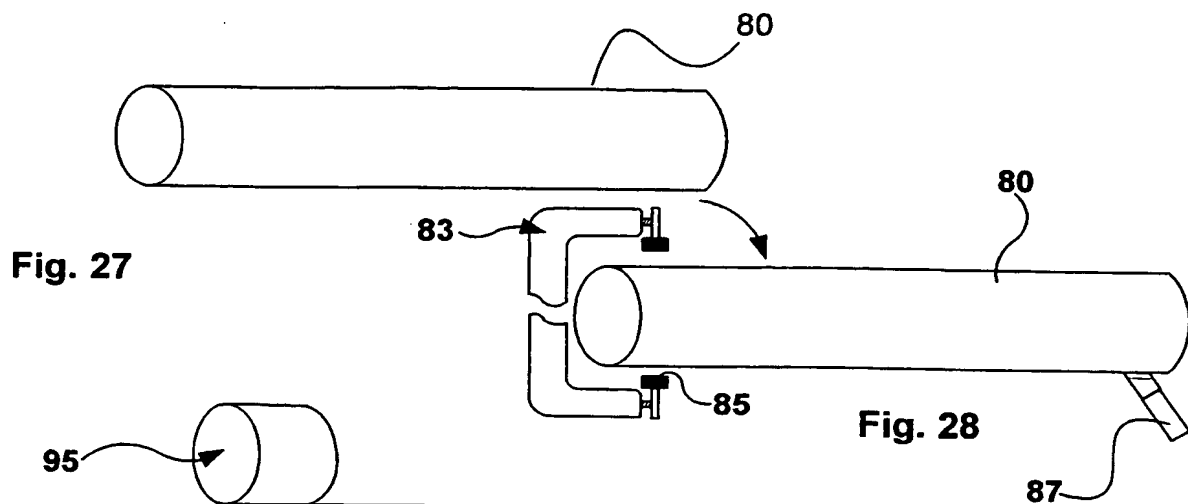


Fig. 32

Fig. 33

Fig. 34

